

**КИНЕТИКА ВОЗГОРАНИЯ ЛЮМИНЕСЦЕНЦИИ  
ОСТЫВАЮЩЕЙ ЭЛЕКТРОННО-ДЫРОЧНОЙ ПЛАЗМЫ  
В КРИСТАЛЛЕ CdSe**

Балтрамеюнас Р., Юршенас С., Жукаускас А.,  
Куокштис Э., Латинис В.

Релаксация концентрации и энергии неравновесных носителей заряда (ННЗ) в сильно возбужденных полупроводниках — объект многочисленных исследований последних лет. В недавних работах [1-3] было показано, что остывание плотной электронно-дырочной плазмы (ЭДП), возбуждаемой мощными пико-секундными импульсами света, протекает значительно медленнее (за времена порядка 100 пс), чем можно было ожидать, исходя из элементарной модели электрон-фононного взаимодействия. В прямозонных полупроводниках, таким образом, осуществляется ситуация, когда неравновесная концентрация плазмы излучательно рекомбинирует, не достигнув термодинамического равновесия с решеткой. Целью настоящей работы было исследование (на примере кристаллов CdSe) влияния замедленного остывания ННЗ на кинетику люминесценции плазмы. Особое внимание обращено на начальный этап высыпчивания полосы люминесценции сильно фотовозбужденной ЭДП, что позволило сделать выводы о взаимосвязи механизмов релаксации систем неравновесных квазичастиц (электронов и фононов).

Эксперимент проводился на установке, состоящей из лазера на основе АИГ: Nd<sup>3+</sup> с пассивной синхронизацией мод (длительность импульса 30 пс), люминесцентного спектрометра, автоматизированного на базе стандарта КАМАК, и микро-ЭВМ [4]. Временное разрешение установки обеспечивалось оптическим затвором Керра на CS<sub>2</sub>. Спектры люминесценции регистрировались фотоэлектрически, путем накопления сигнала в отдельных точках с дискриминацией возбуждающих импульсов по амплитуде. Применялась геометрия «назад», диаметр возбуждаемого пятна 1 мм.

На рис. 1 представлена серия спектров люминесценции монокристаллов CdSe, возбуждаемых второй гармоникой излучения лазера ( $h\nu_0=2.33$  эВ, плотность мощности 600 МВт/см<sup>2</sup>) при гелиевой температуре, снятых при различных задержках относительно импульса накачки. В излучении доминирует одна полоса полуширины от 15 до 7.5 мэВ, максимум которой в начальный момент находится около 1.797 эВ, со временем сдвигается в коротковолновую область до 1.804 эВ при  $\Delta t=520$  пс.

Наблюдаемую полосу люминесценции следует отнести к рекомбинационному излучению ЭДП [5, 6]. В этот же энергетический интервал 1.801 эВ попадает и излучение экситона с эмиссией одного продольно оптического фонара A-LO. Однако такому объяснению противоречит сильный сдвиг наблюдаемой полосы в коротковолновую область со временем. Нужно также отметить, что кристалл возбуждался достаточно мощными лазерными импульсами, когда создаваемая концентрация ННЗ превышала моттовскую для CdSe ( $n > > 10^{17}$  см<sup>-3</sup> [7]). Искажения длиноволнового края полосы люминесценции типичны для проявления стимулированных переходов в плазме [8].

Наиболее существенная особенность люминесценции ЭДП заключается в нарастании ее интенсивности в течение первых 140 пс после возбуждения. Это показано на рис. 2, точки на котором отвечают интегральной по спектру интенсивности люминесценции ЭДП для разных моментов времени. Как видно, от  $\Delta t=40$  до  $\Delta t=140$  пс интенсивность излучения увеличивается в 200 раз, а дальше гаснет с постоянной времени  $\tau=80$  пс.

Данная особенность излучательной рекомбинации находит объяснение в рамках модели остывающей локализованной ЭДП большой плотности. Положим, что задержка возгорания обусловлена конкуренцией влияния механизмов дисципилии энергии и релаксации концентрации ННЗ на излучательные способности плазмы в условиях преобладания стимулированных переходов. С этой

целью проведем расчет кинетики интегральной по спектру интенсивности излучения ЭДП, пренебрегая временным изменением пространственного профиля. Для заданных значений температуры  $T_c(t)$  и концентрации  $n(t)$  ННЗ интегральную интенсивность в определенный момент времени можно выразить как

$$\bar{I}(t) = \int_0^{\infty} I_{\text{сп}}(hv, t) (\exp[g(hv, t)d] - 1) g(hv, t) dhv, \quad (1)$$

где  $d$  — толщина возбуждаемого слоя, а спонтанная эмиссия  $I_{\text{сп}}(hv, t)$  и коэффициент усиления  $g(hv, t)$  для прямого перехода в случае параболических зон имеют вид

$$I_{\text{сп}}(hv, t) = C [hv - \tilde{E}_g(t)]^{1/2} f_e(t) f_h(t), \quad (2)$$

$$g(hv, t) = A [hv - \tilde{E}_g(t)]^{1/2} [f_e(t) + f_h(t) - 1], \quad (3)$$

здесь  $A$  и  $C$  — величины, пропорциональные квадрату матричного элемента оптического перехода, считаются постоянными в спектральной области исследований;  $\tilde{E}_g(t)$  — ренормализованная ширина запрещенной зоны [ее зависимость от времени не влияет на величину  $\bar{I}(t)$ ];  $f_{e(h)}(t)$  — функция Ферми:

$$f_{e(h)}(t) = f \left\{ \frac{\mu m_{e(h)}^{-1} [hv - \tilde{E}_g(t)] - E_F^{e(h)}(t)}{kT_c(t)} \right\}, \quad (4)$$

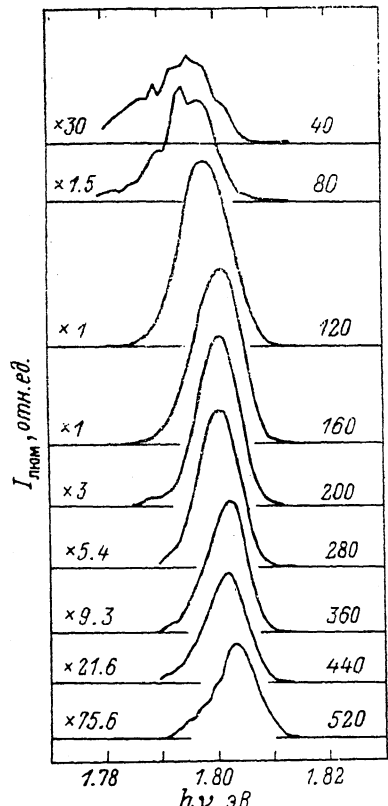


Рис. 1. Развернутые во времени спектры люминесценции монокристалла CdSe при гелиевой температуре для плотности мощности возбуждения  $600 \text{ МВт/см}^2$ . Числами обозначены: слева — множители чувствительности, справа — время задержки (в пс) относительно момента возбуждения.

Цифрами обозначены: слева — множители чувствительности, справа — время задержки (в пс) относительно момента возбуждения.

где  $E_F^{e(h)}(t)$  — уровни Ферми для электронов (дырок),  $m_{e(h)}$  — эффективные массы,  $\mu = [m_e^{-1} + m_h^{-1}]^{-1}$ ,  $f(x) = [\exp(x) + 1]^{-1}$ .

Для определения функции  $T_c$  воспользуемся тем, что в условиях большой скорости генерации ННЗ, забрасываемых высоко в зону, температура ЭДП отслеживает релаксацию неравновесной заселенности фононов нескольких поколений [3]. Во время действия импульса накачки в кристалле образуются горячие электроны и дырки, которые теряют свою избыточную энергию, испуская

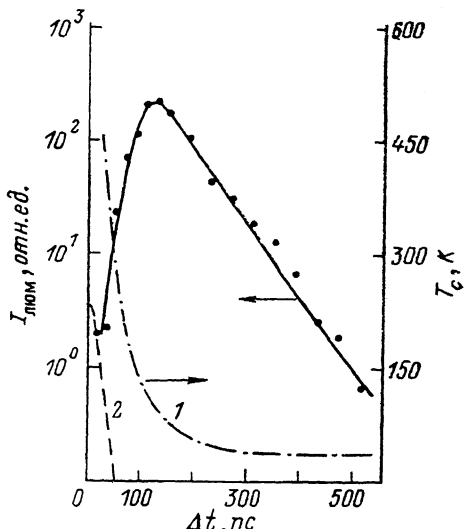


Рис. 2. Кинетика интегральной по спектру интенсивности излучения.

Точки — эксперимент, сплошная линия — теория. 1 — кинетика эффективной температуры ННЗ, рассчитанная по формуле (5); 2 — задний фронт импульса накачки в логарифмической шкале.

фононы. При этом отклоняются от равновесия наиболее сильно связанные с носителями моды  $LO$ -колебаний в длинноволновой области зоны Бриллюэна, так что вероятность испускания  $LO$ -фонала плазмой сравнивается с вероятностью его поглощения. По окончании импульса возбуждения спад температуры ЭДП отслеживает релаксацию неравновесной заселенности таких фононов. Процесс депопуляции происходит за счет ангармонического распада с постоянной времени  $\tau_1$  (для CdSe экстраполяция результатов [9] для низких температур дает значение  $\tau_1=4.5$  пс). Быстрое накопление продуктов такого распада приводит к образованию неравновесной заселенности долгоживущих фононов второго поколения. На данном этапе остывания ( $t \geq 40$  пс) временной ход температуры ЭДП можно характеризовать величиной  $\tau_2$  — временем релаксации неравновесной заселенности коротковолновых фононов с энергией, равной половине энергии  $LO$ -фонала. Используя бозевскую связь между температурой и средним числом заполнения фононов, имеем

$$T_c(t) = \Theta/2 \ln \{ [(N_0 - N_L) \exp(-t/\tau_2) + N_L]^{-1} + 1 \}, \quad (5)$$

где  $\Theta$  — температура Дебая,  $N_0(\Theta/2kT_0)$  и  $N_L(\Theta/2kT_L)$  — функции распределения Бозе для начальной температуры ННЗ  $T_0=T_c$  (40 пс) и температуры решетки  $T_L$  соответственно. Учет разогрева решетки и дальнейших медленных ( $\tau > 1$  нс) стадий релаксации энергии проводится путем принятия не зависящего от времени параметра  $T_L$ , отличного от температуры бани.

Рекомбинация неравновесной концентрации ЭДП принималась бимолекулярной; с учетом увеличения коэффициента бимолекулярной рекомбинации из-за стимулированных переходов [10]  $dn/dt=\gamma_{\text{ст}}(t) n^2$ , где  $\gamma_{\text{ст}}(t)=\gamma \times \chi \exp[\bar{g}(t)d]$ , а  $\bar{g}(t)$  — усредненная по спектру величина коэффициента усиления, рассчитанного по (3).

На рис. 2 сплошной линией показана рассчитанная согласно формулам (1)–(5) теоретическая зависимость интегральной по спектру интенсивности излучения ЭДП для следующих подгоночных параметров:  $n(40$  пс $)=2 \cdot 10^{18}$  см $^{-3}$  — начальная концентрация ННЗ,  $\gamma=3.2 \cdot 10^{-9}$  см $^3$ /с,  $T_0=450$  К,  $T_L=30$  К и  $\tau_2=42$  пс. Быстрая релаксация температуры ННЗ приводит к вырождению ЭДП и росту интенсивности люминесценции из-за включения стимулированных процессов в излучении. По мере остывания ЭДП скорость изменения эффективной температуры  $T_c$  падает (рис. 2). При этом термический механизм приращения квазиуровня Ферми в электронной и дырочной подсистемах замедляется и оказывается не способным компенсировать обеднение инверсной заселенности, возникающее за счет процессов спонтанной и стимулированной рекомбинации. Экспериментально это проявляется в снижении интенсивности люминесценции.

Таким образом, показано, что задержка возгорания полосы люминесценции ЭДП в сильно фотовозбужденном полупроводнике обусловлена конкуренцией вкладов медленной релаксации температуры ННЗ и спада неравновесной концентрации в условиях преобладания стимулированных переходов. Кроме того, игнорирование замедленного охлаждения плазмы дает заниженное значение коэффициента бимолекулярной рекомбинации, определяемого по времени спаду интегральной интенсивности люминесценции. Последнее особенно важно для низкотемпературных измерений, когда отклонение системы фононов от равновесия наиболее существенно.

#### Л и т е р а т у р а

- [1] Lobentanzer H., Polland H.-J., Rühle W. W., Stoltz W., Ploog K. // Phys. Rev. 1987. V. 36. N 2. P. 1136–1139.
- [2] Amand T., Collet J. // J. Phys. Chem. Sol. 1985. V. 46. N 9. P. 1053–1059.
- [3] Балтрамеюнас Р., Жукаускас А., Латинис В., Юршенас С. // Письма ЖЭТФ. 1987. Т. 46. В. 2. С. 67–69.
- [4] Латинис В., Степанкявичюс В., Юршенас С. // Лит. физ. сб. 1988. Т. 28. № 1. С. 94–95.
- [5] Yoshida H., Saito H., Shionoya S. // Phys. St. Sol. (b). 1981. V. 104. N 1. P. 331–340.
- [6] Collet J., Pugnet M., Cornet A., Brousseau M., Razbirin B. S., Mikhailov G. V. // Phys. St. Sol. (b). 1981. V. 103. N 1. P. 367–379.

- [7] Бловик Н. В., Страшникова М. И. // ФТТ. 1978. Т. 20. В. 1. С. 171–176.  
[8] Лысенко В. Г., Ревенко В. И., Тратас Т. Г., Тимофеев В. Б. // ЖЭТФ. 1975. Т. 68. В. 1. С. 335–345.  
[9] Geick R., Perry C. H., Mitra S. S. // J. Appl. Phys. 1966. V. 37. N 2. P. 1994–1997.  
[10] Egorov V. D. // Phys. St. Sol. (b). 1980. V. 102. N 1. P. 317–321.

Вильнюсский государственный  
университет им. В. Каунаса

Получено 22.07.1988  
Принято к печати 27.10.1988

ФТП, том 23, вып. 3, 1989

## ЛИНЕЙНАЯ ПО ТОКУ ЭНЕРГЕТИЧЕСКАЯ НЕОДНОРОДНОСТЬ КВАЗИЧАСТИЦ В ПОЛУПРОВОДНИКОВЫХ СЛОЯХ

Гредескул Т. С.

В данной работе рассматриваются распределения электронной и фононной температур, а также вид вольтамперной характеристики в полупроводниковой пластине длиной  $2a$  ( $-a \leq x \leq a$ ) в линейном по току приближении. Размеры образца вдоль осей  $Y$ ,  $Z$  неограничены, а теплообмен с окружающей средой осуществляется только через стенки  $x = \pm a$ . В образце вдоль оси  $X$  протекает электрический ток, определяемый выражением

$$J = \sigma (E - \alpha_e \nabla_x T_e), \quad (1)$$

где  $\sigma$  — электропроводность,  $E$  — электрическое поле,  $T_e$  — температура электронов,  $\alpha_e$  — коэффициент дифференциальной электронной термоэдс. Температуру электронов  $T_e$  (и влияющую на нее температуру фононов  $T_p$ ) легко найти, решая уравнения баланса энергии для электронов и фононов, отвечающие вышеописанной ситуации [1],

$$\begin{aligned} x_e t'_e &= P(t_e - t_p), \\ -x_p t'_p &= P(t_e - t_p) \end{aligned} \quad (2)$$

с граничными условиями [2]

$$\begin{aligned} \Pi - x_e t'_e |_{\pm a} &= \pm \eta_e t_e |_{\pm a}, \\ -x_p t'_p |_{\pm a} &= \pm \eta_p t_p |_{\pm a}. \end{aligned} \quad (3)$$

Здесь  $t_{e,p} = J^{-1} (T_{e,p} - T_0)$ ,  $T_0$  — температура окружающего образца термостата,  $P$  — параметр, характеризующий электрон-фононное энергетическое взаимодействие,  $\Pi = \alpha_e T_0 - \lambda$ ,  $\lambda$  — поверхностный коэффициент Пельтье,  $x_{e,p}$  — электронная и фононная объемные теплопроводности,  $\eta_{e,p}$  — скорости поверхностной релаксации энергии электронов и фононов.

Решение такой системы имеет вид

$$t_{e,p} = \frac{\Pi}{\eta_e} \frac{\beta (kL_p + \operatorname{th} ak) X + \gamma_{e,p} (a + L_p) \frac{\operatorname{sh} kx}{\operatorname{ch} ka}}{(1 + \beta) a \operatorname{th} ak + (\beta L_e + L_p) \operatorname{th} ak + ak (L_e + \beta L_p) + (1 + \beta) k L_e L_p}, \quad (4)$$

где  $L_{e,p} = x_{e,p}/\eta_{e,p}$ ,  $\beta = x_e/x_p$ ,  $\gamma_e = 1$ ,  $\gamma_p = -\beta$ ,  $k^2 = k_e^2 + k_p^2$ ,  $k_{e,p}^2 = P/x_{e,p}$ . Поскольку в невырожденном полупроводнике длины  $k_{e,p}^{-1}$  удовлетворяют усиленному неравенству  $k_p^{-1} \gg k_e^{-1}$ , эквивалентному  $x_p \gg x_e$  (обычно  $x_e/x_p \sim 10^{-2} \div 10^{-3}$  [3]), можно считать, что  $k^{-1} \approx k_e^{-1}$ .

Как видно из выражения (4), электронная и фононная температуры состоят из двух слагаемых — линейного и отличного от нуля в погранслое толщиной  $k_e^{-1}$  слагаемого  $\sim \operatorname{sh} kx$ . Таким образом, в объеме массивного образца ( $ak \gg 1$ ,  $k|a-x| \geq 1$ ) температуры  $t_{e,p}$  совпадают и определяются линейными слагаемыми.